

Fig. 1A

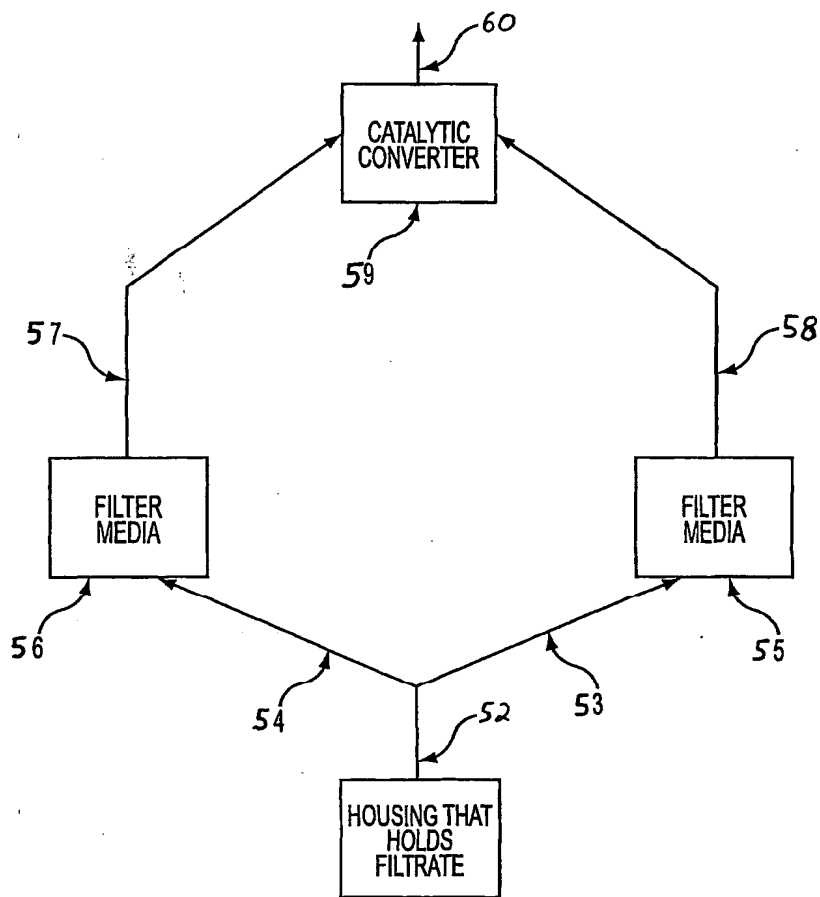


FIG. 1B

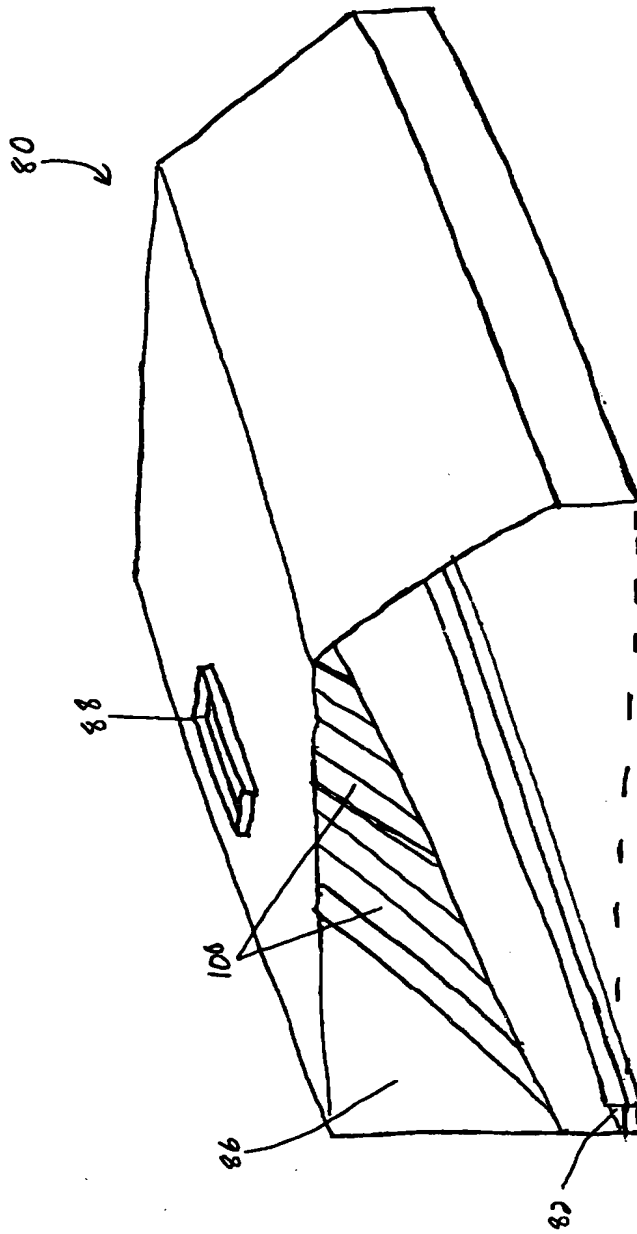


Fig. 1C

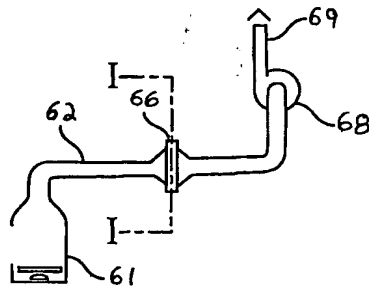


FIG. 2A

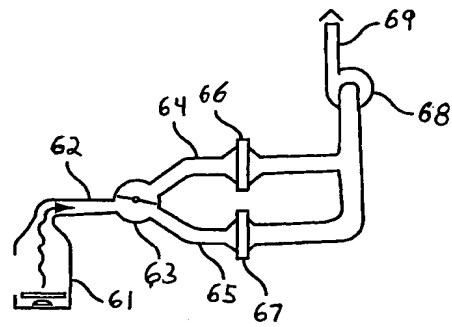


FIG. 2B

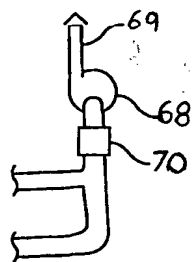


FIG. 2C

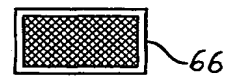


FIG. 2D

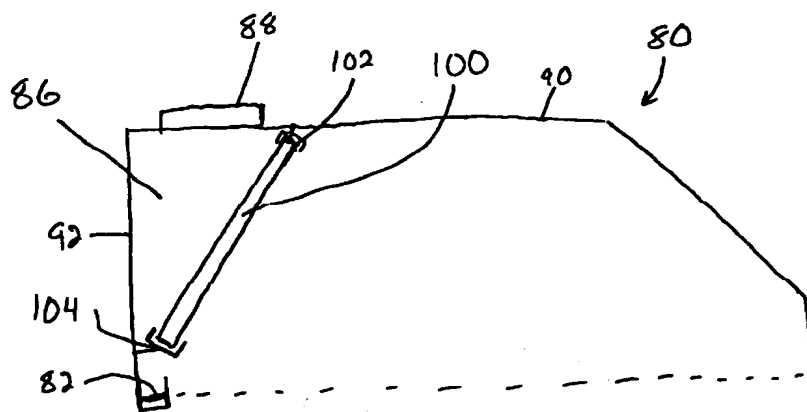


Fig. 2E

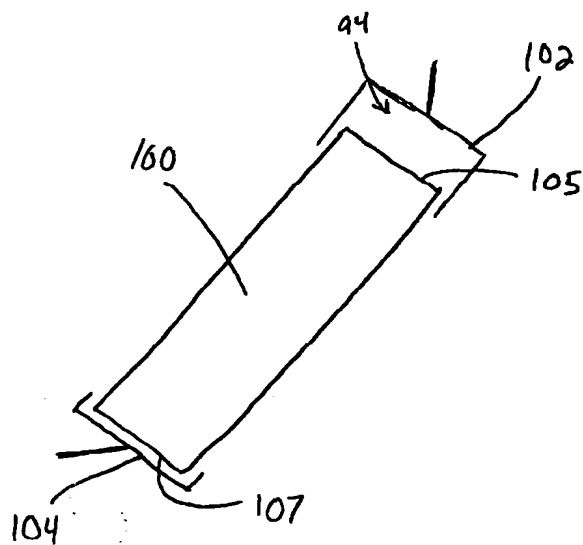
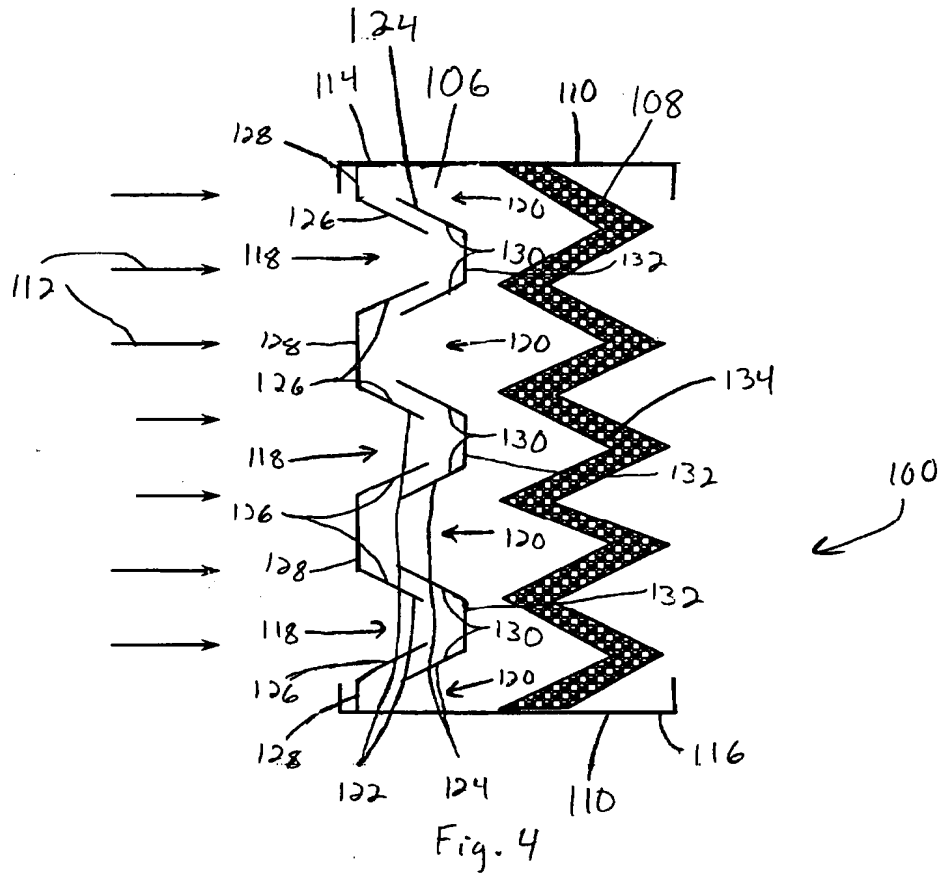


Fig. 3



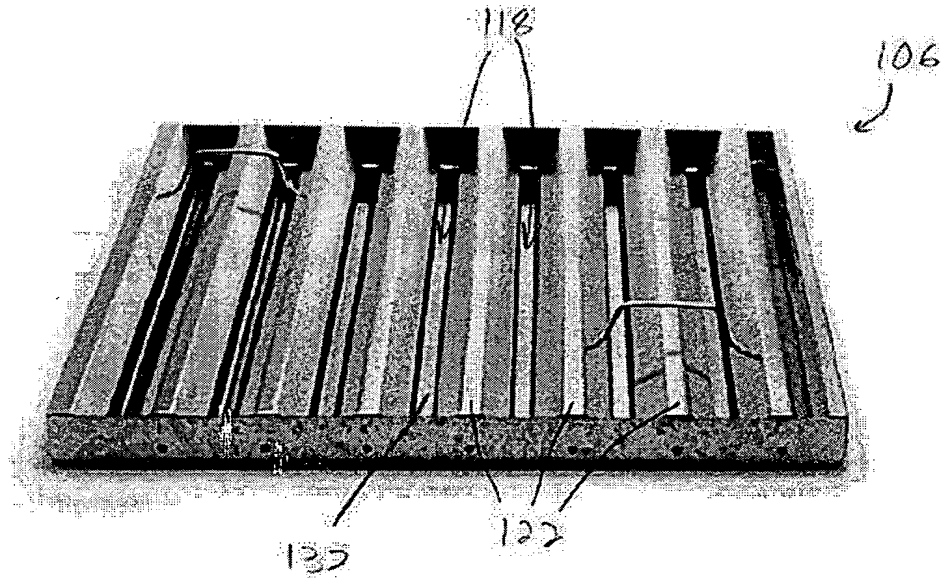


Fig. 5

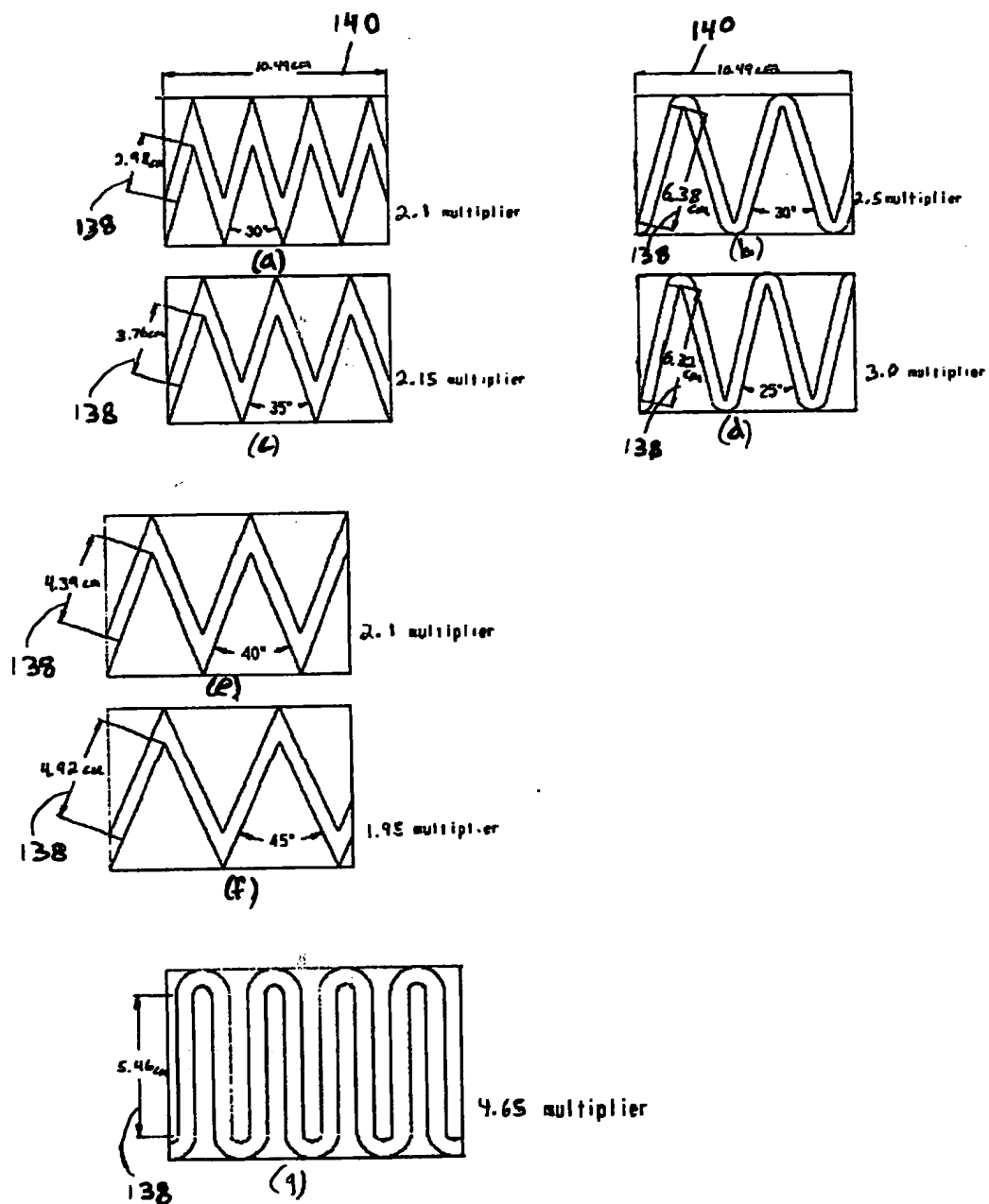


Fig 6

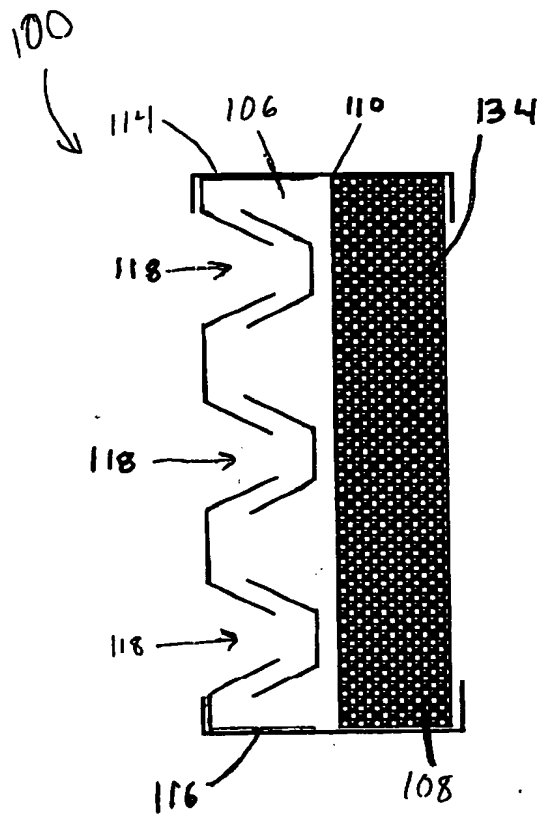


Fig. 7

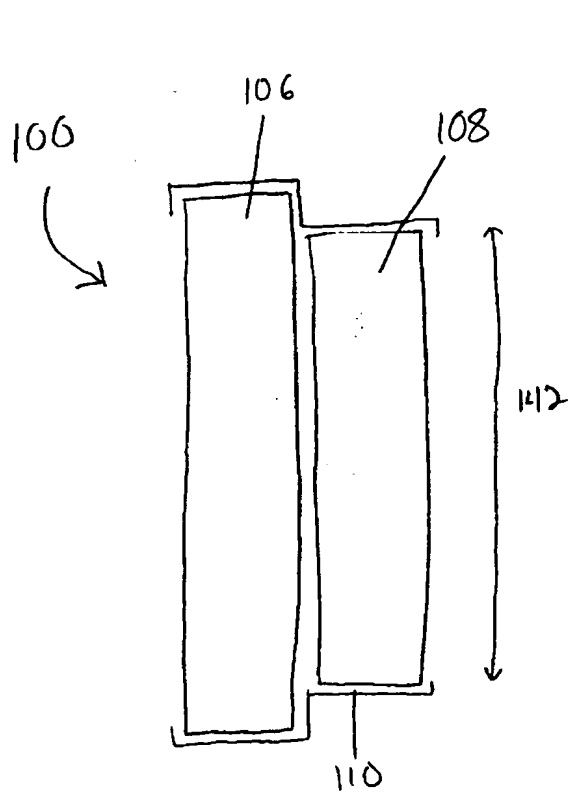


Fig. 8

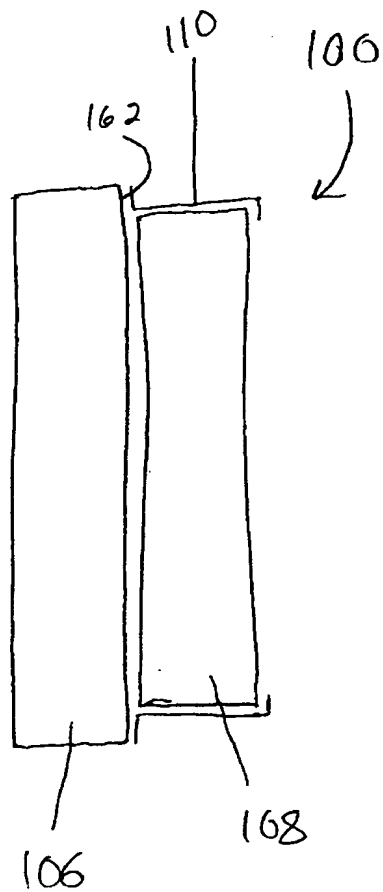
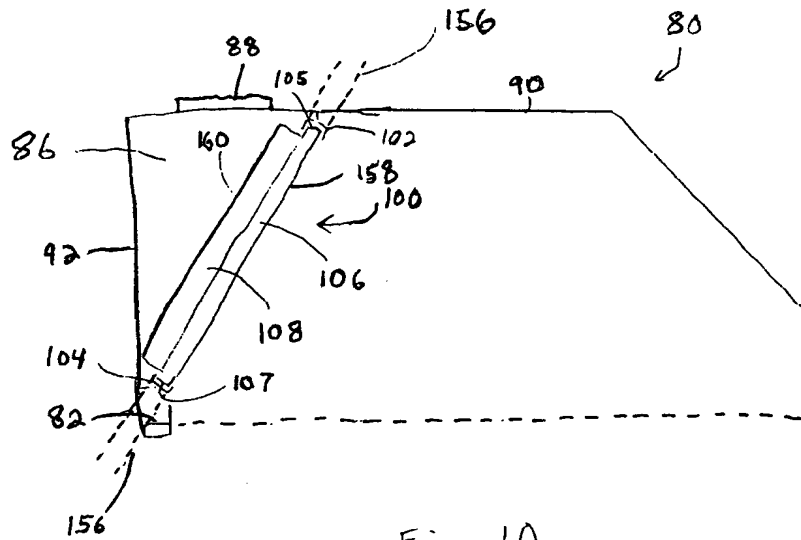


Fig. 9



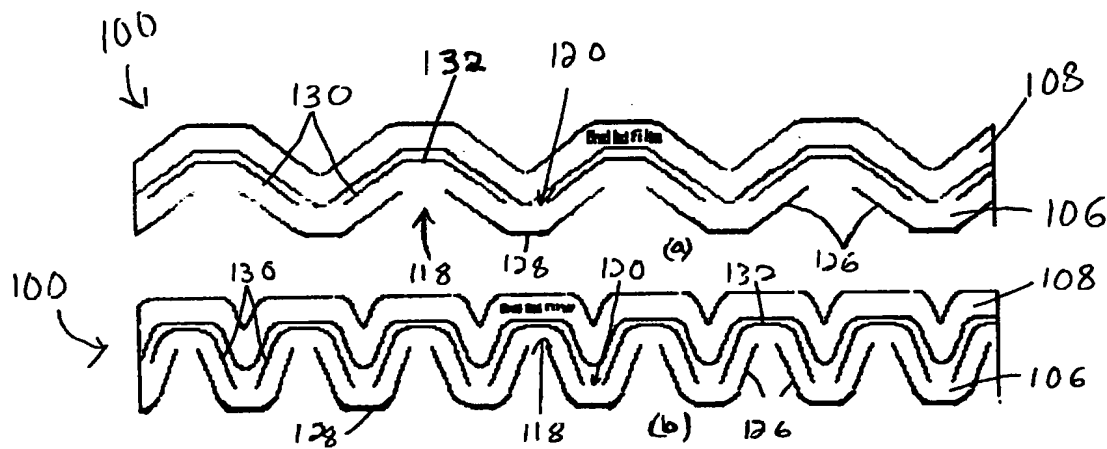


Fig. 11

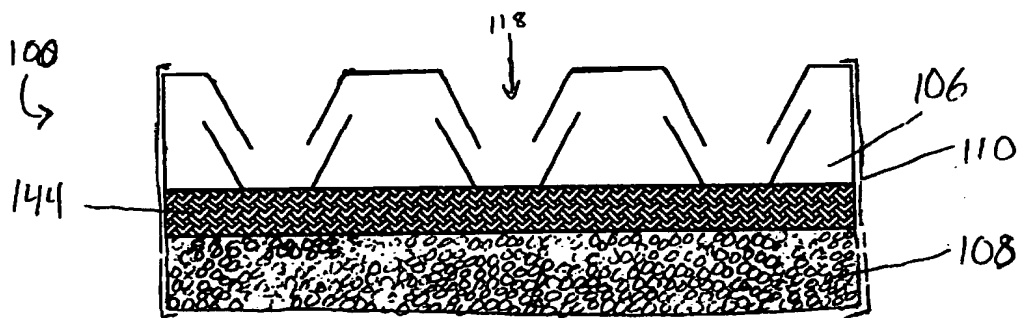


Fig. 12

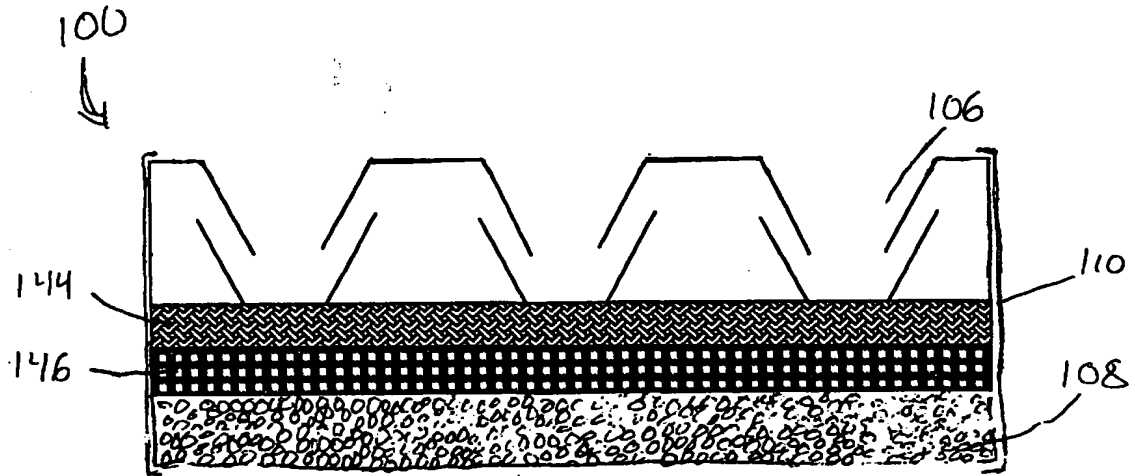


Fig. 13

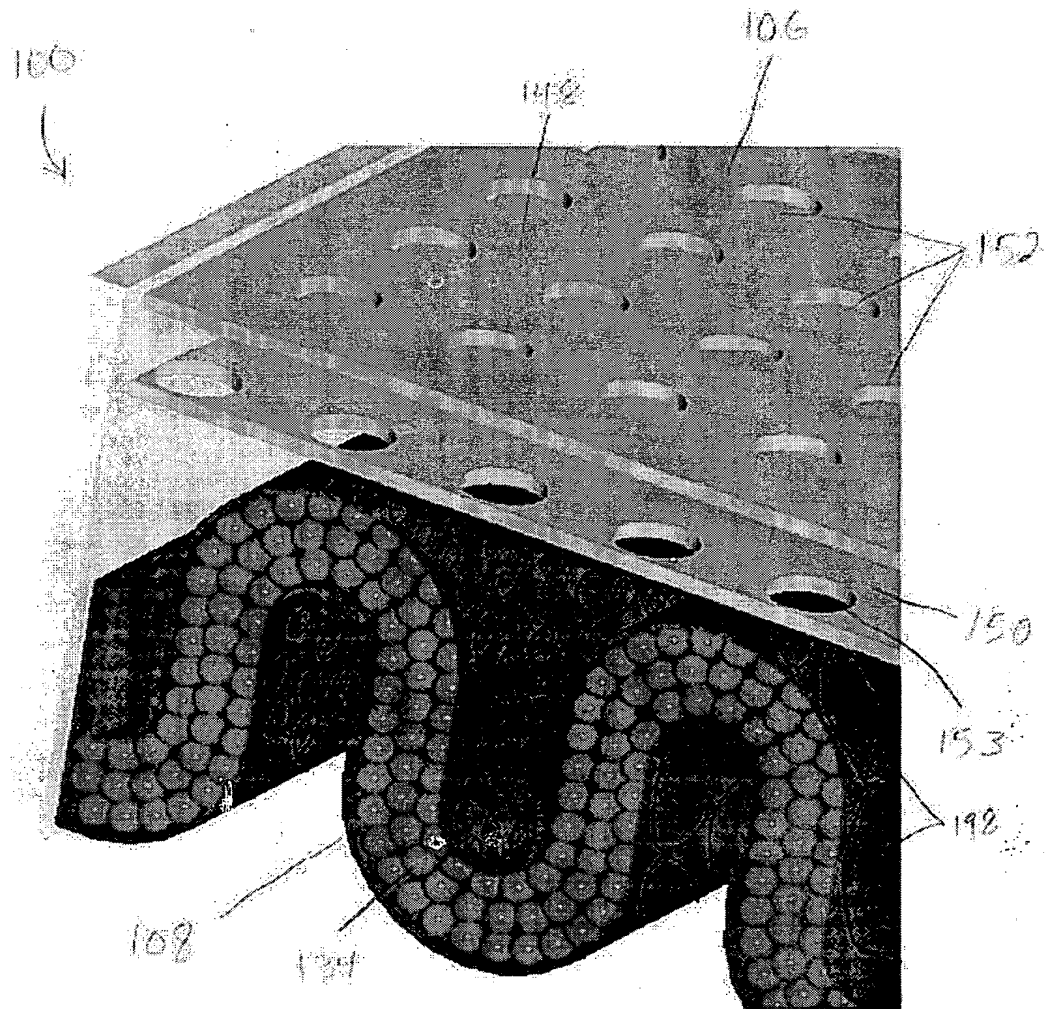


Fig. 14

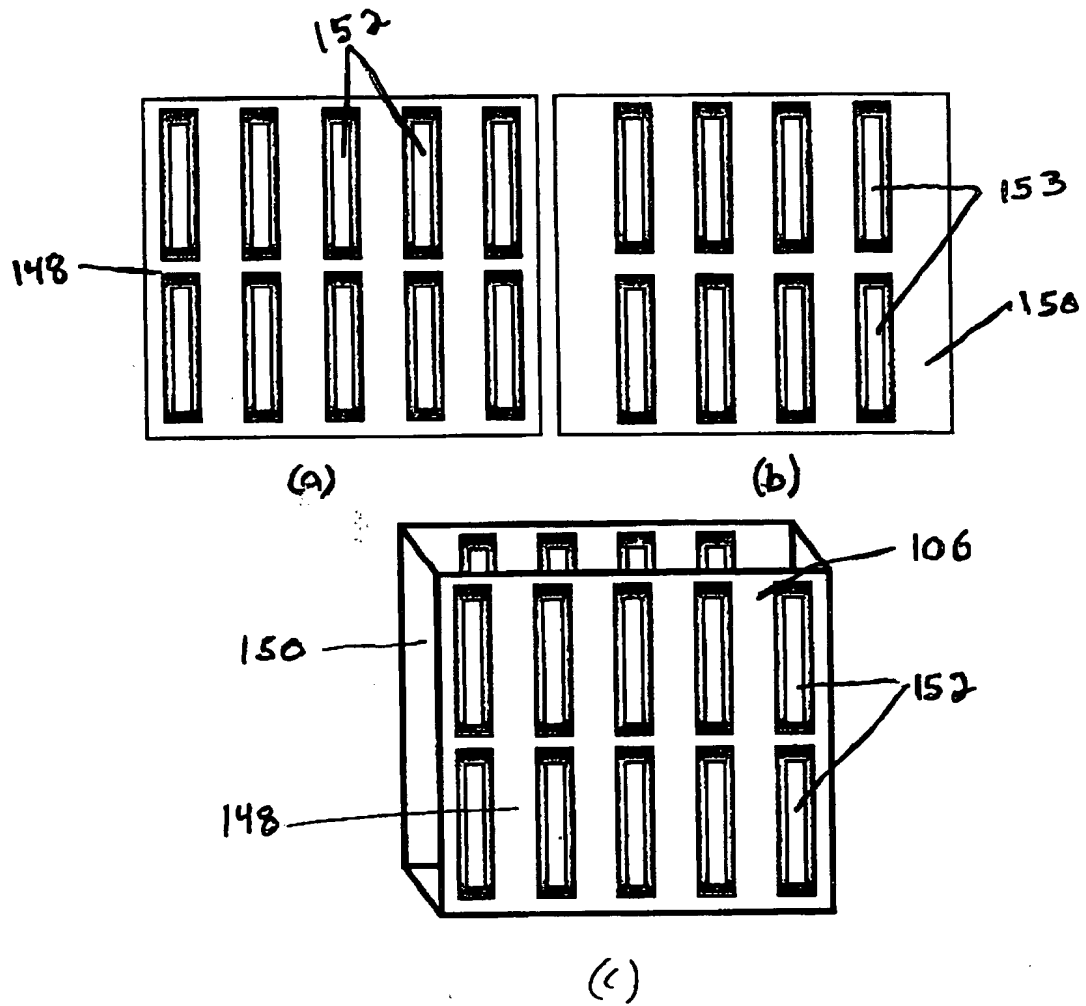


Fig. 15

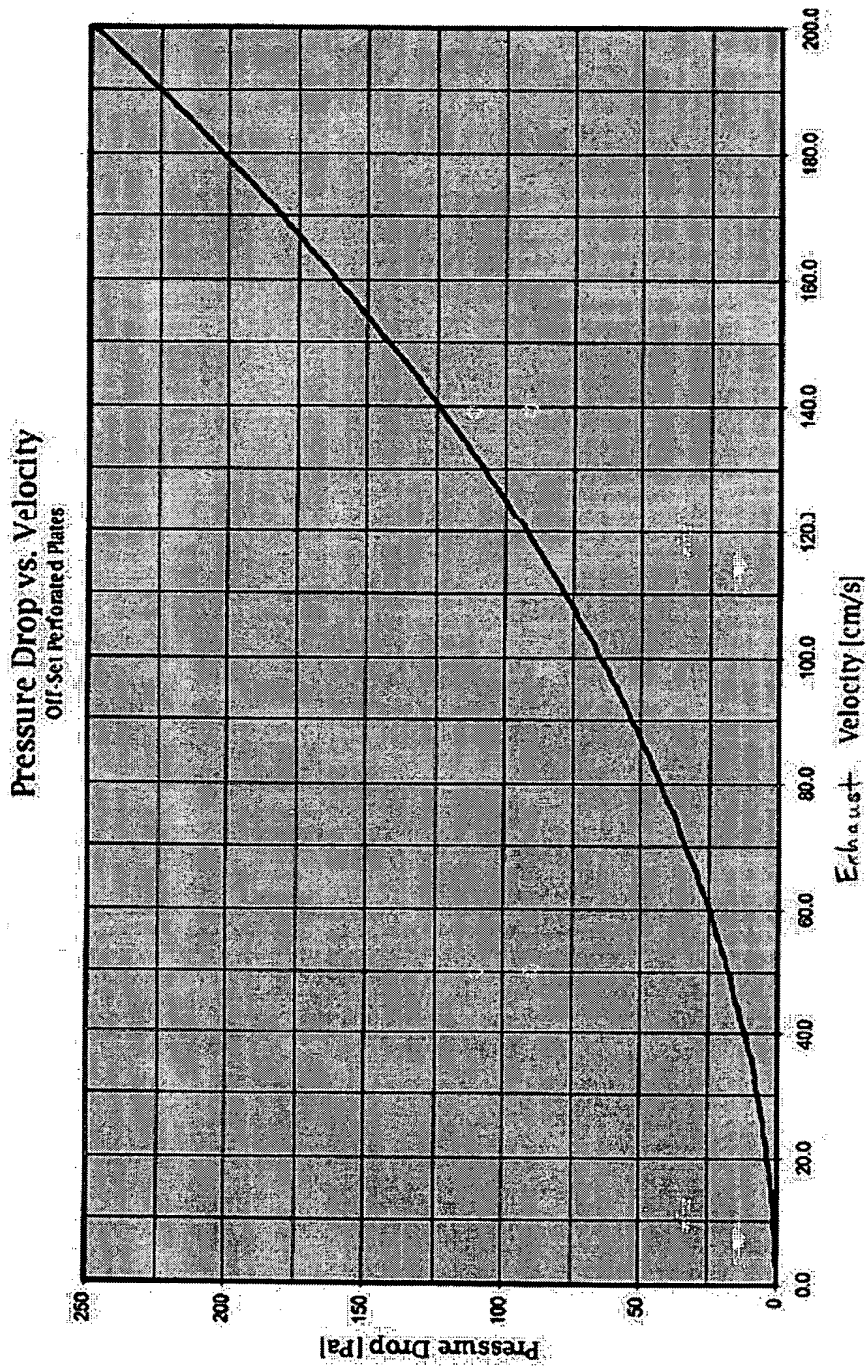


Fig. 16

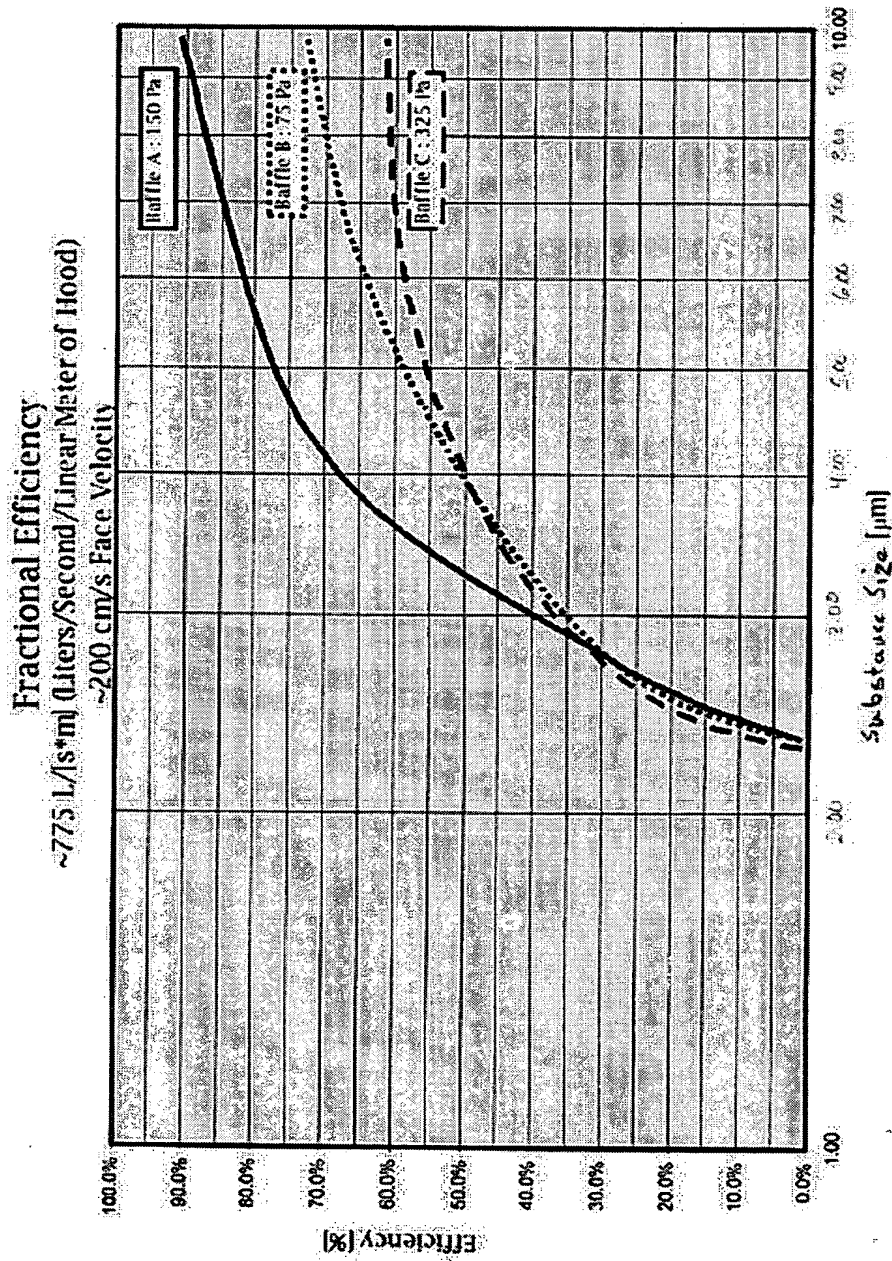


Fig. 17

Pressure Drop Vs. Impact Velocity for Various Open Area Perforated
Plates

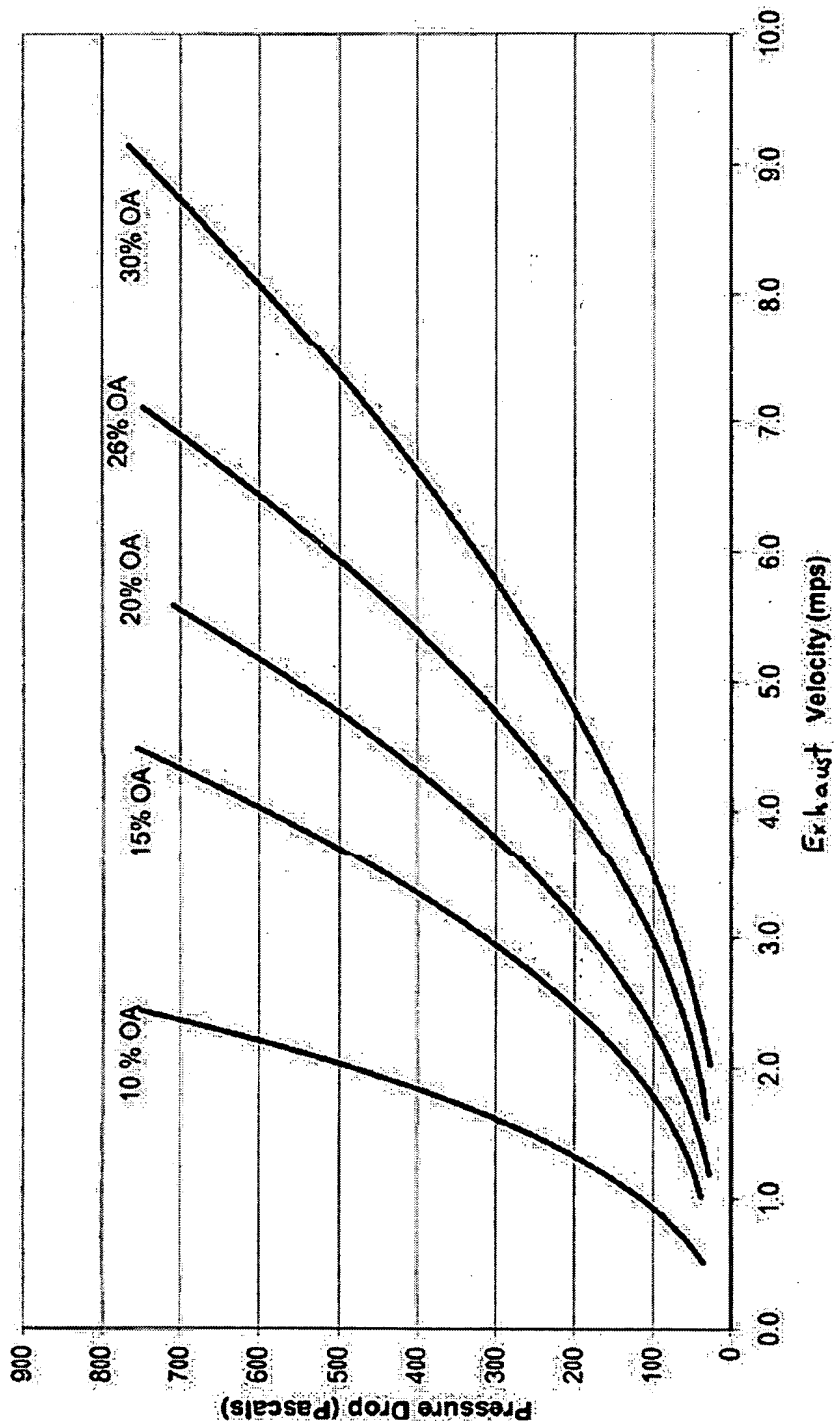


Fig. 12

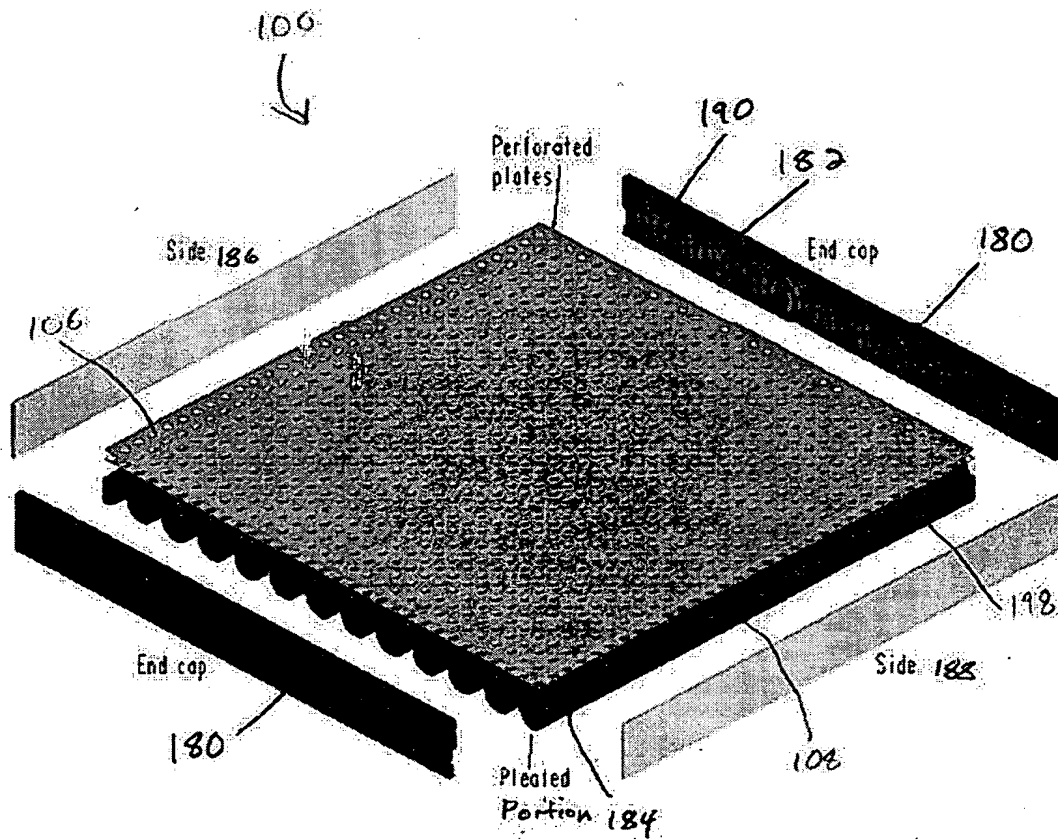


Fig. 19

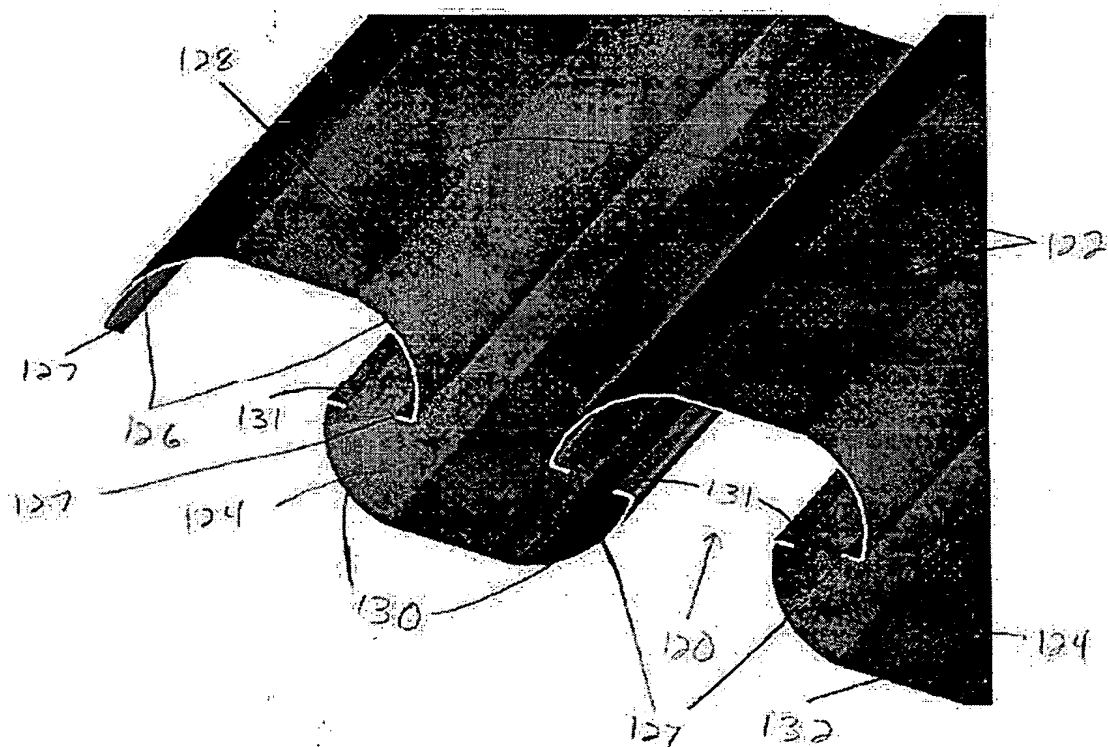


Fig. 20

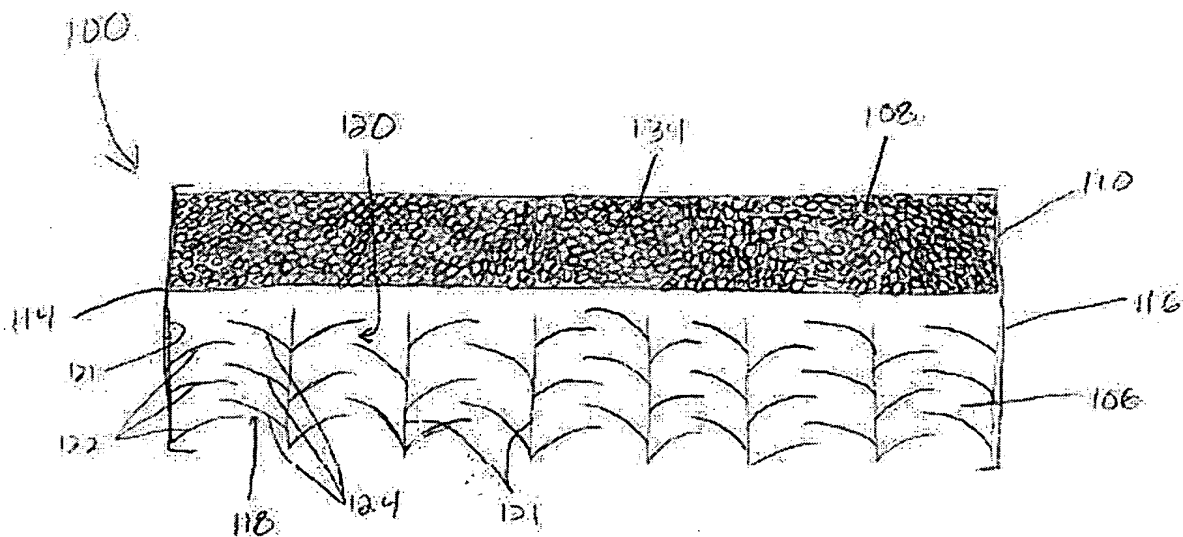


Fig. 26

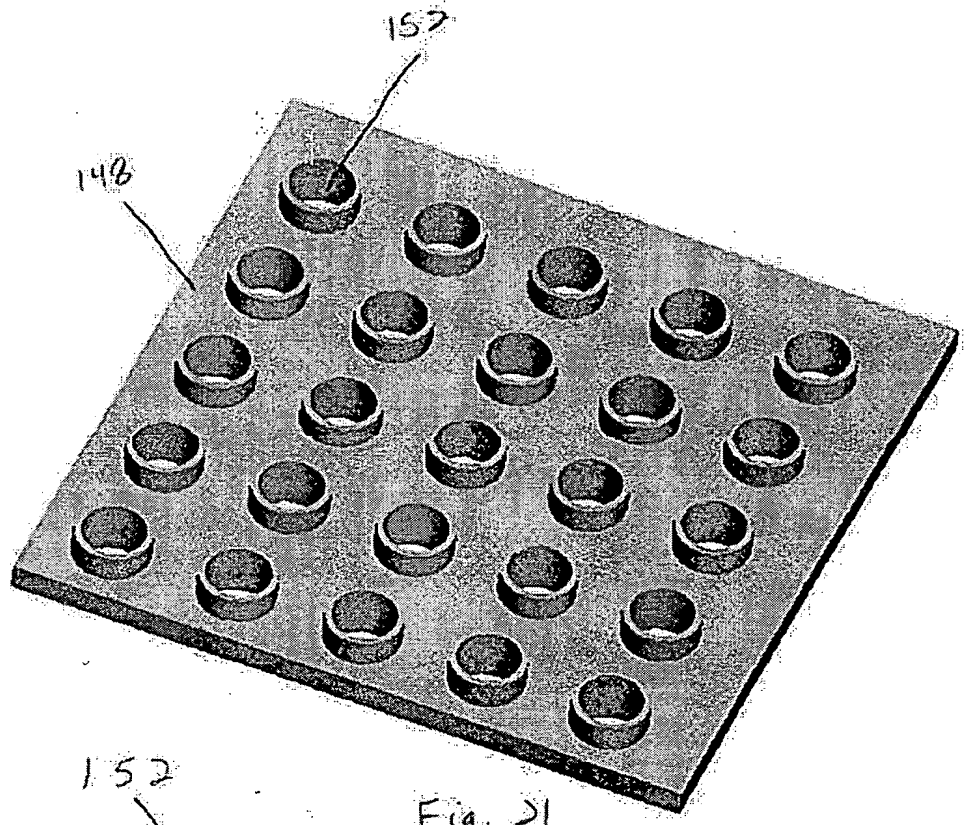


Fig. 21

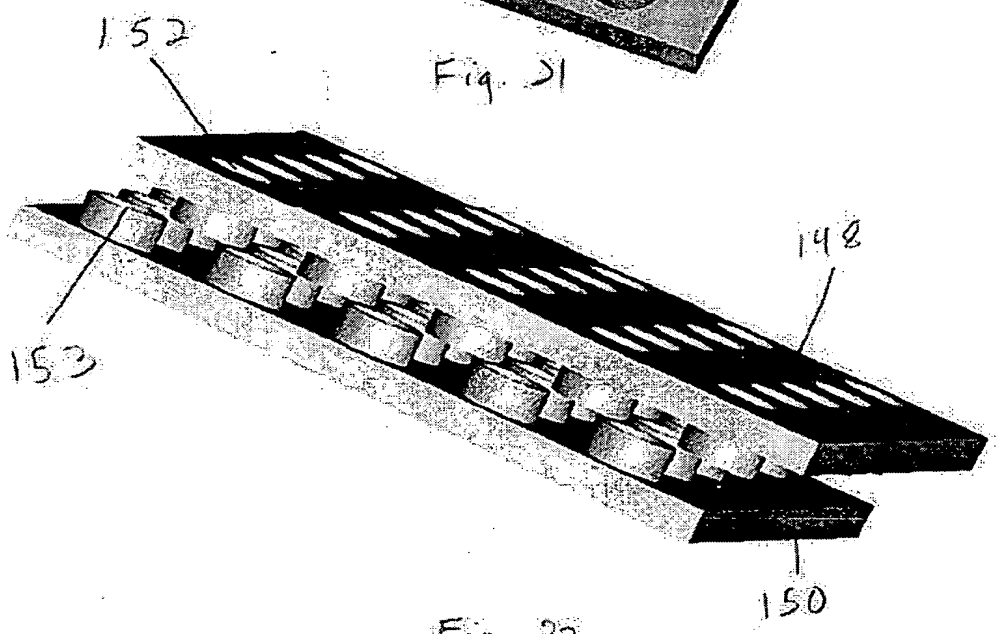


Fig. 22

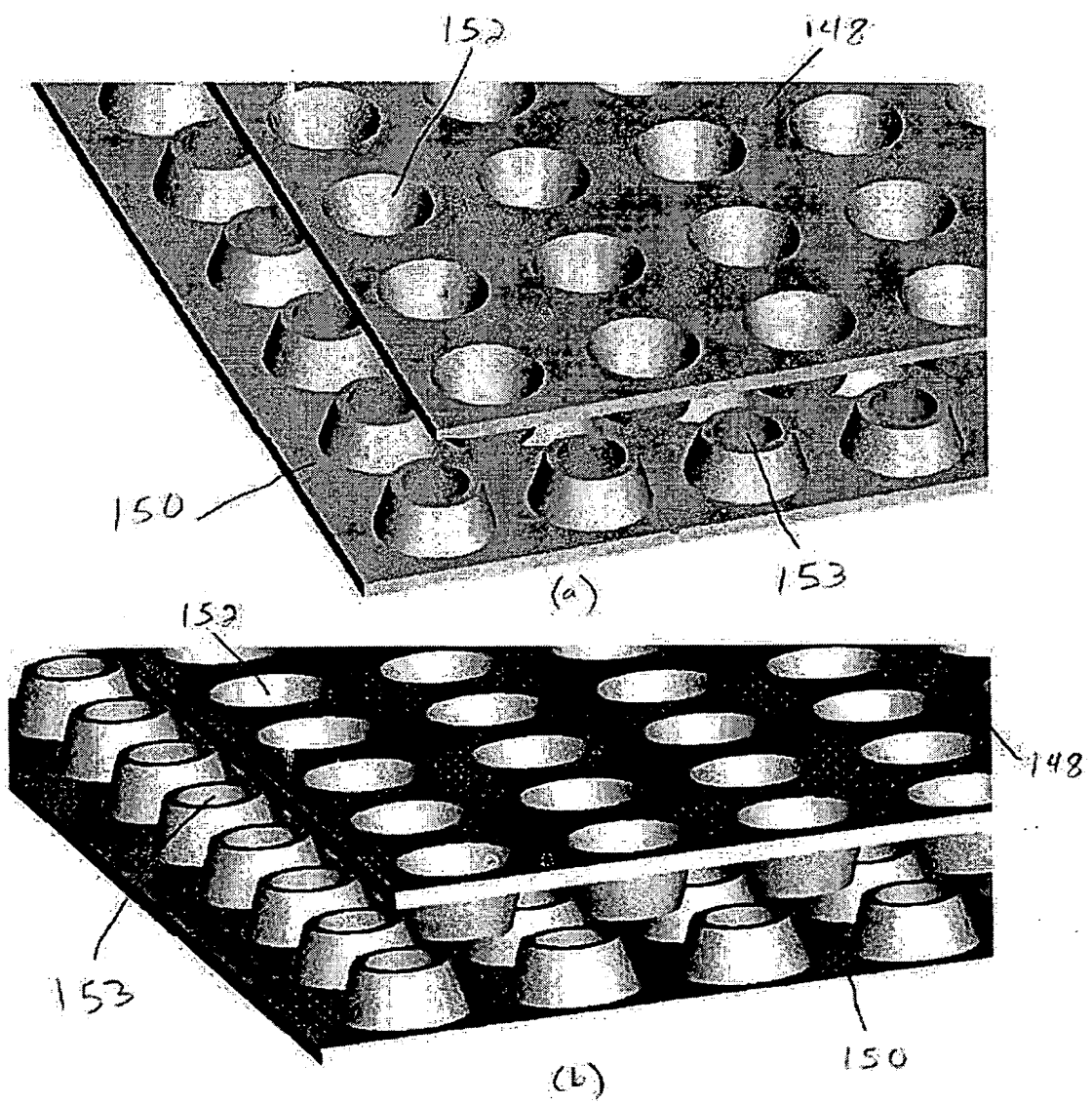


Fig. 23

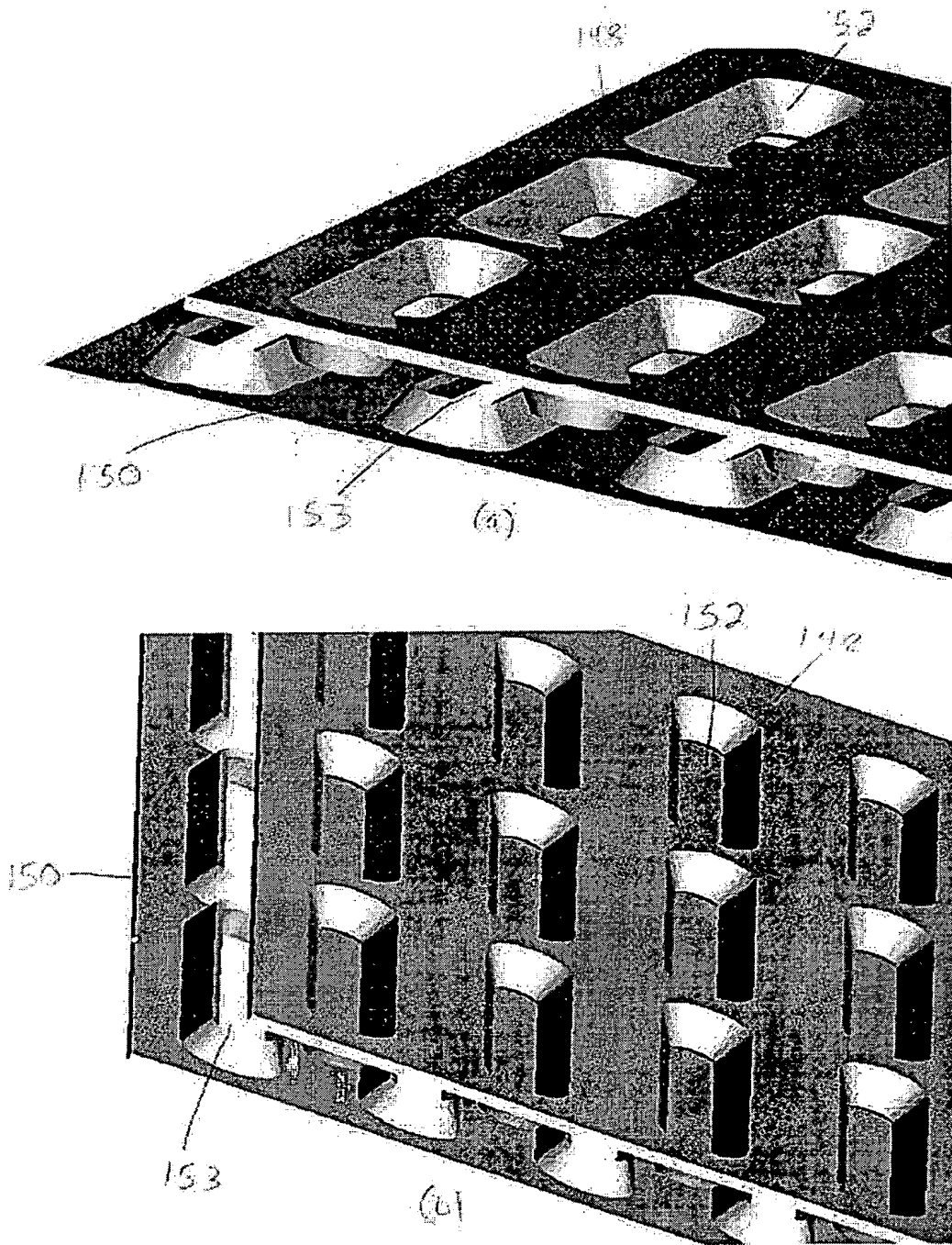


Fig. 24

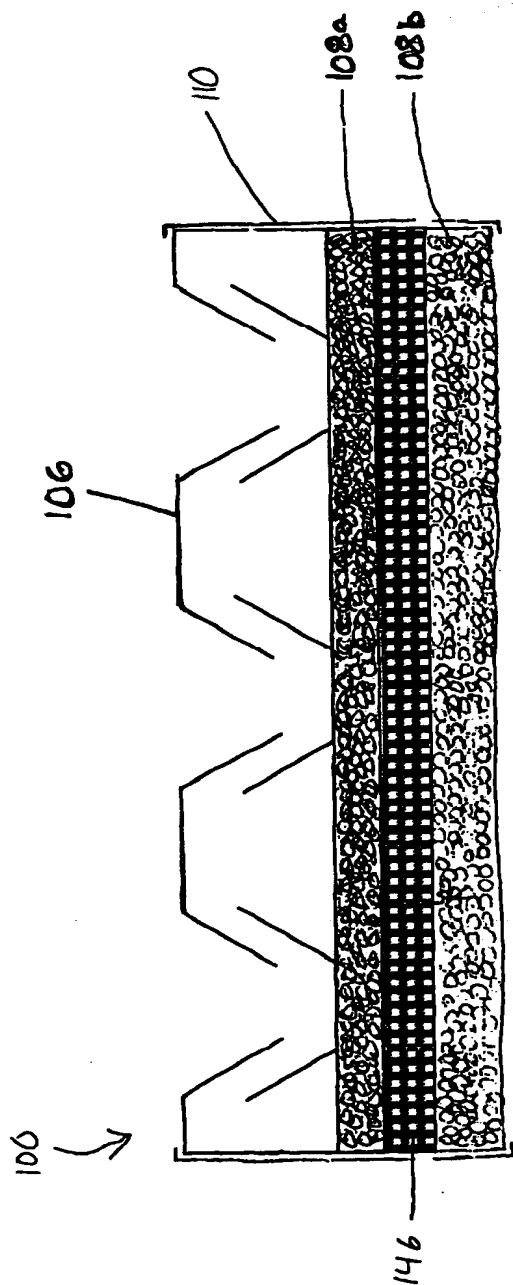


Fig. 25

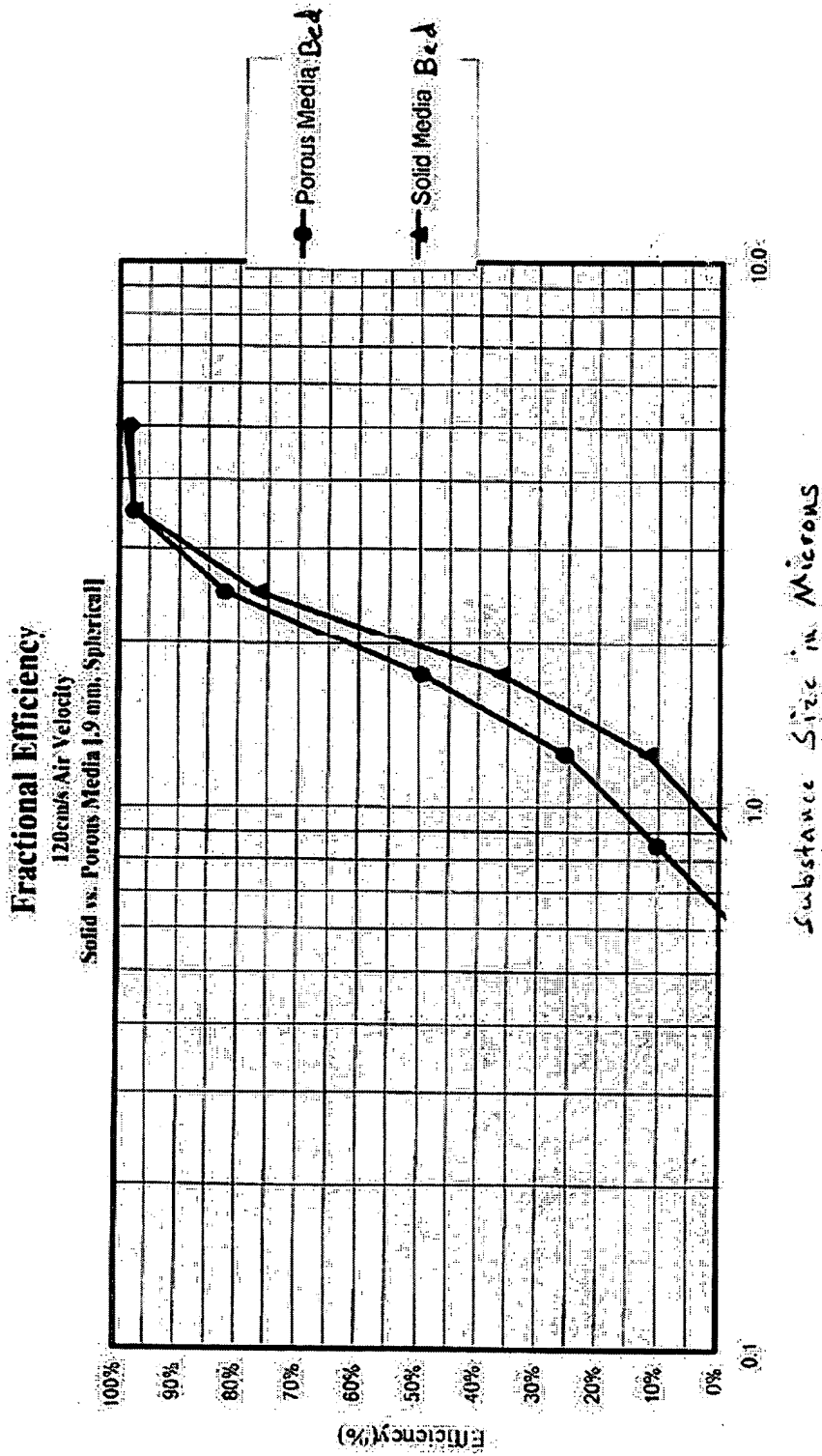


Fig. 27

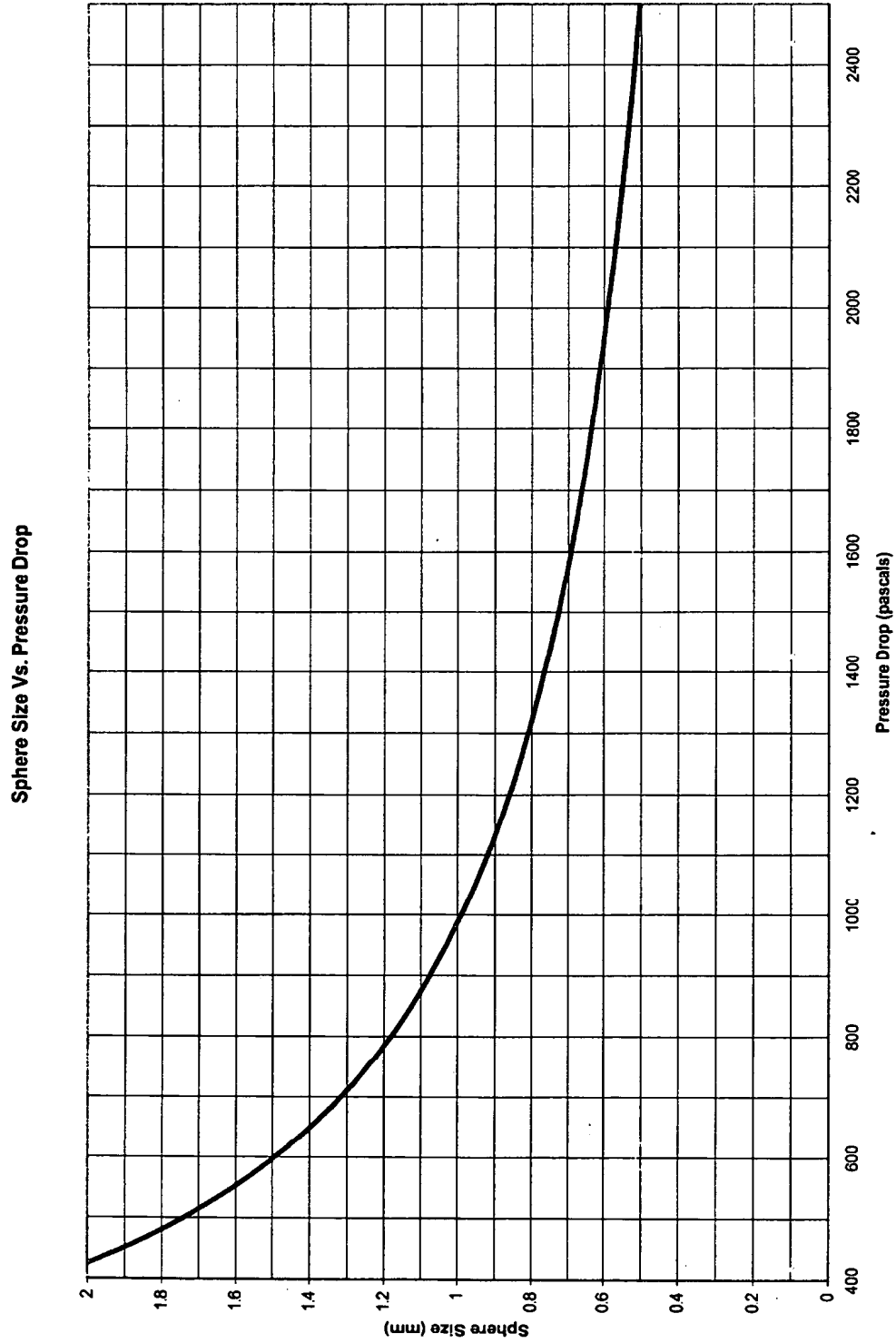


Fig. 28

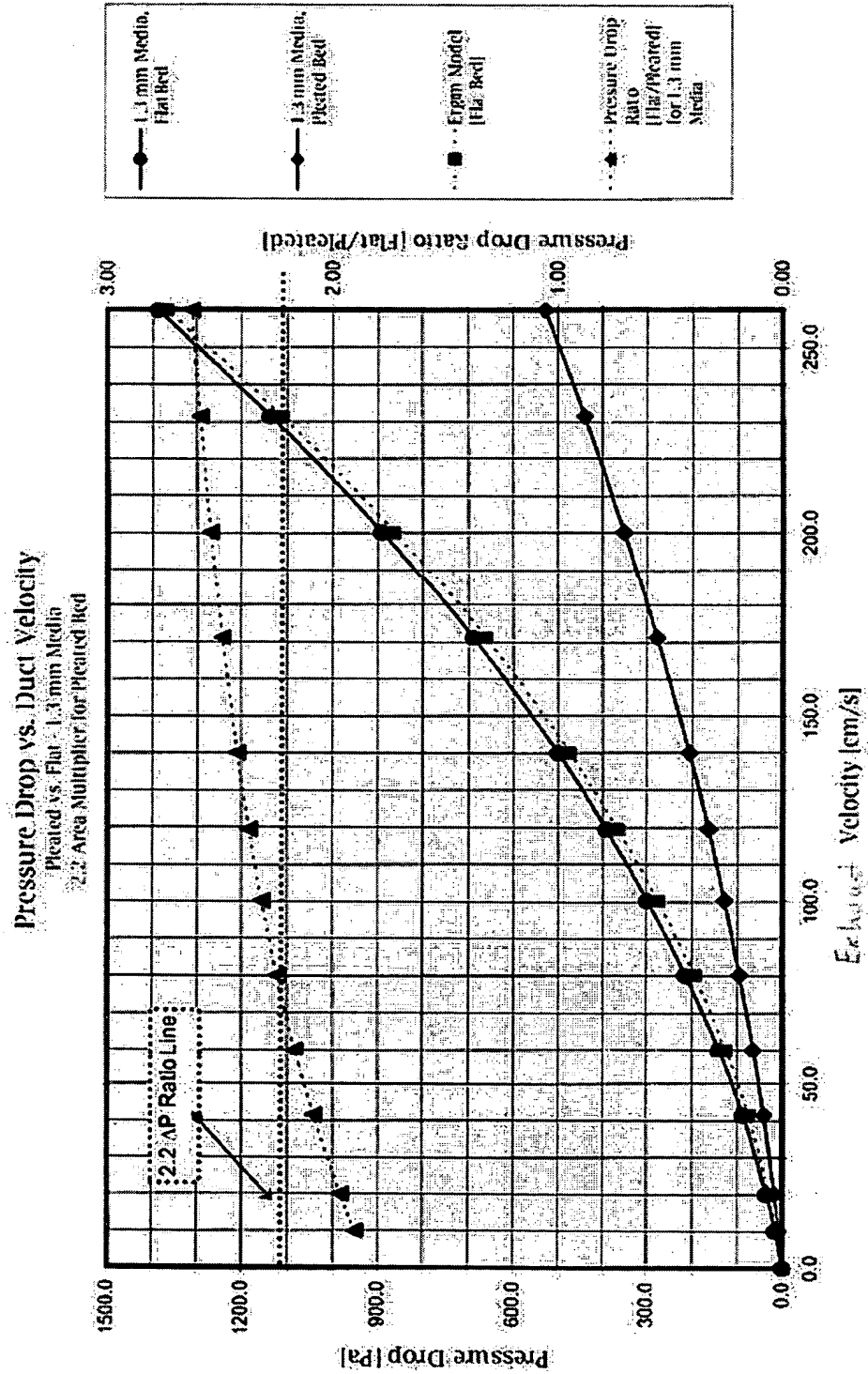


Fig. 29

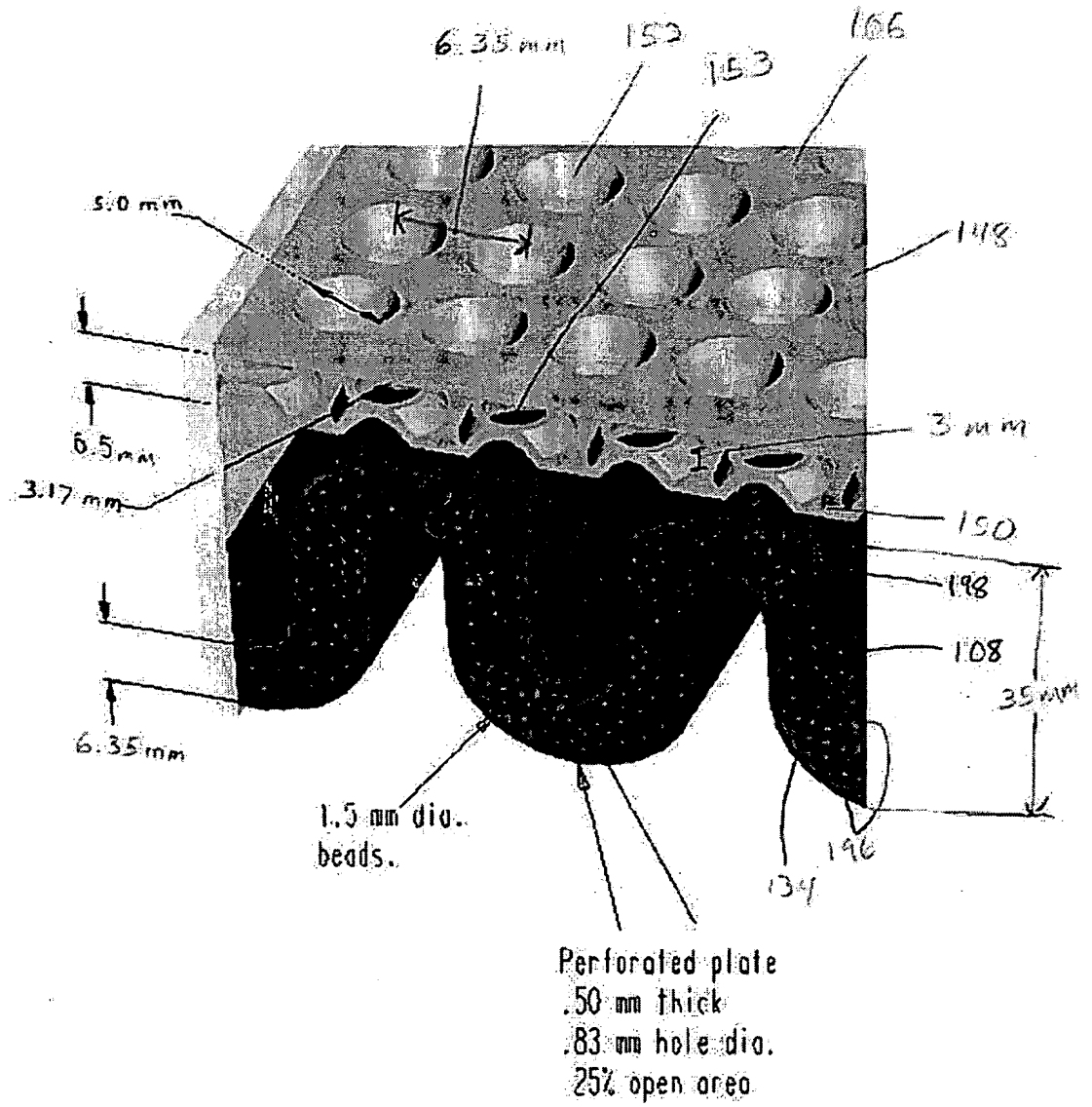
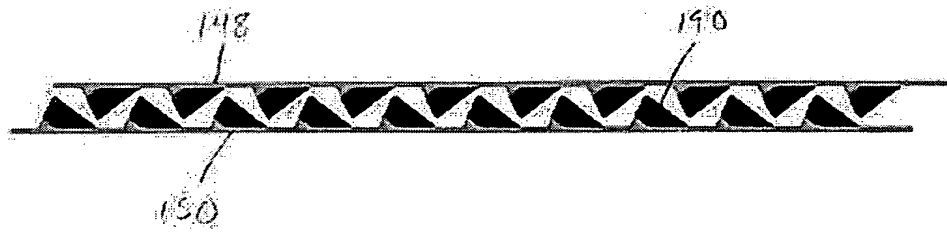
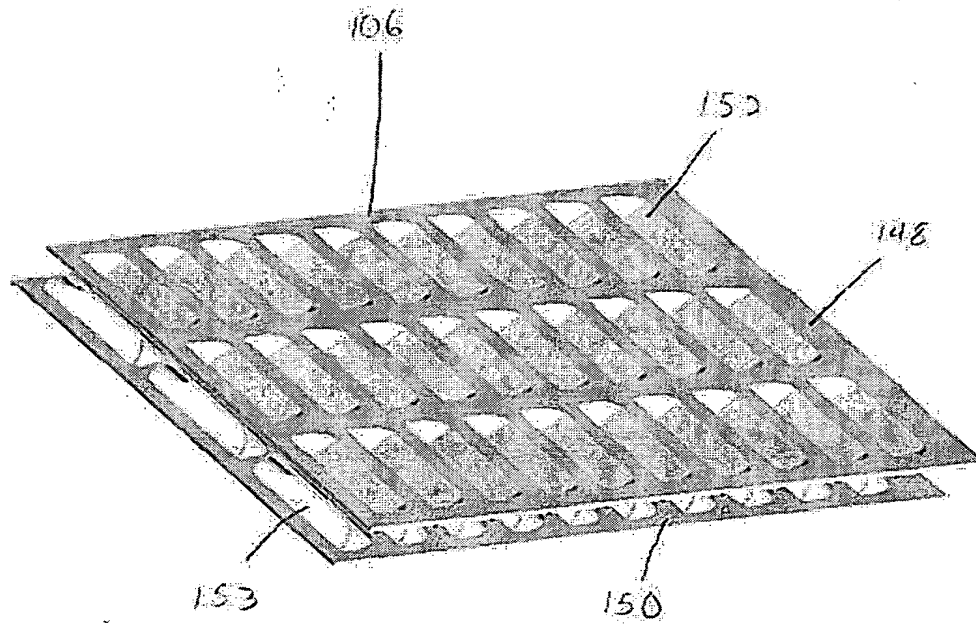


Fig. 30



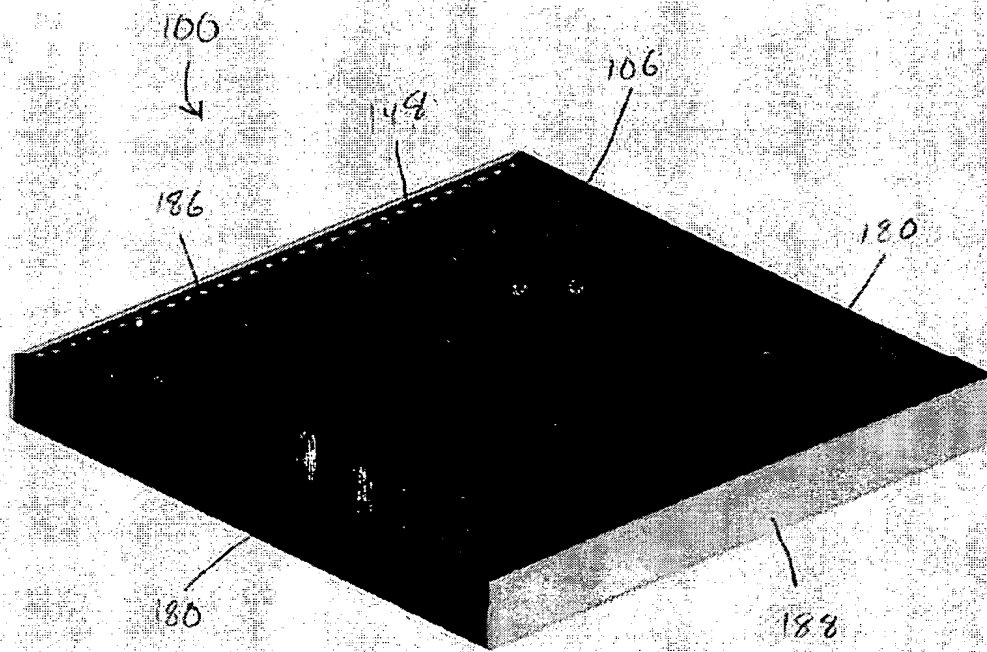


Fig. 33

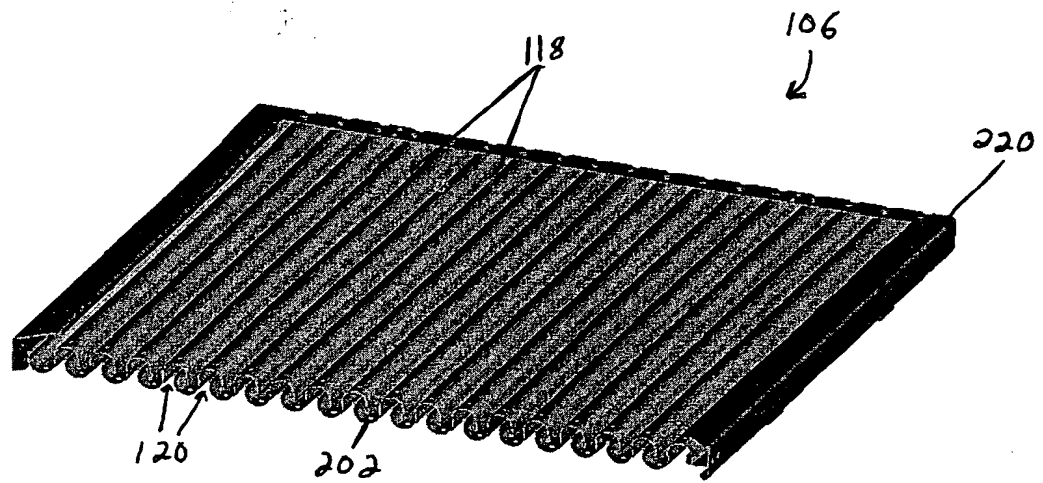


Fig. 34

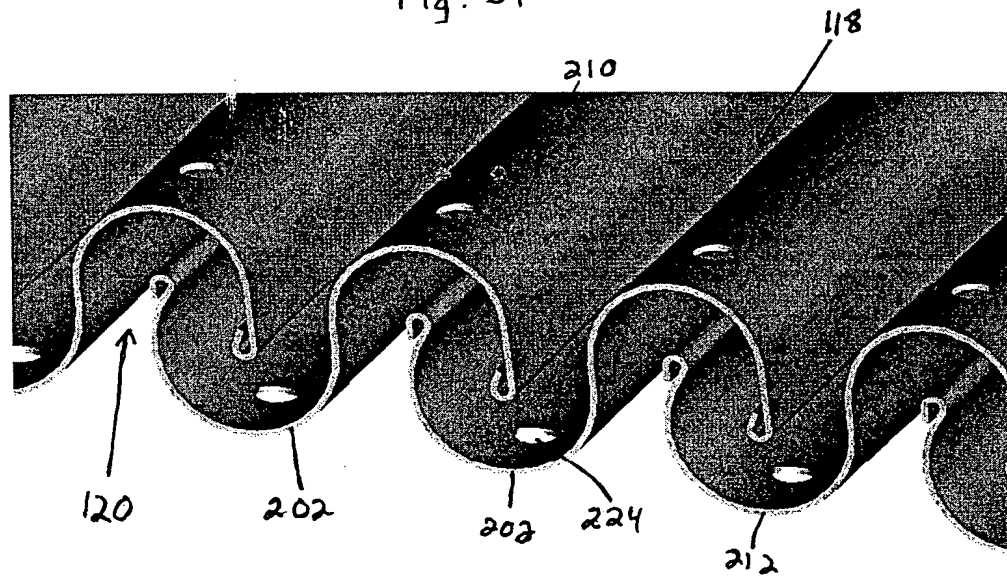


Fig. 35

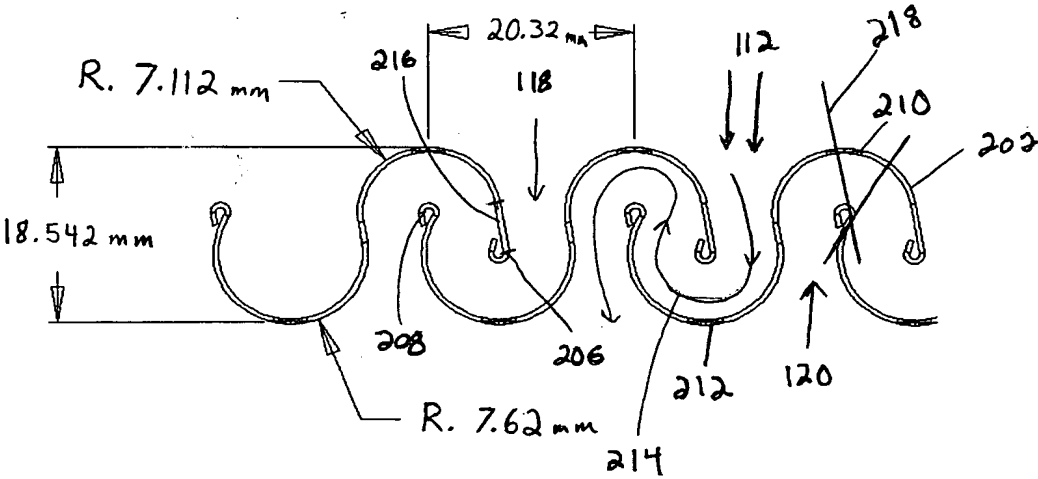


Fig. 36

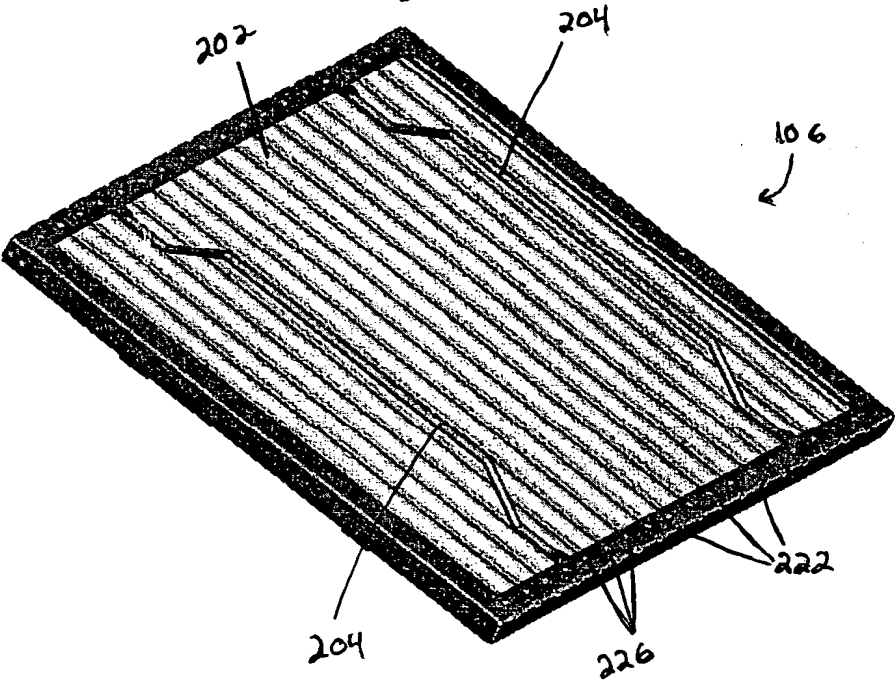


Fig. 37

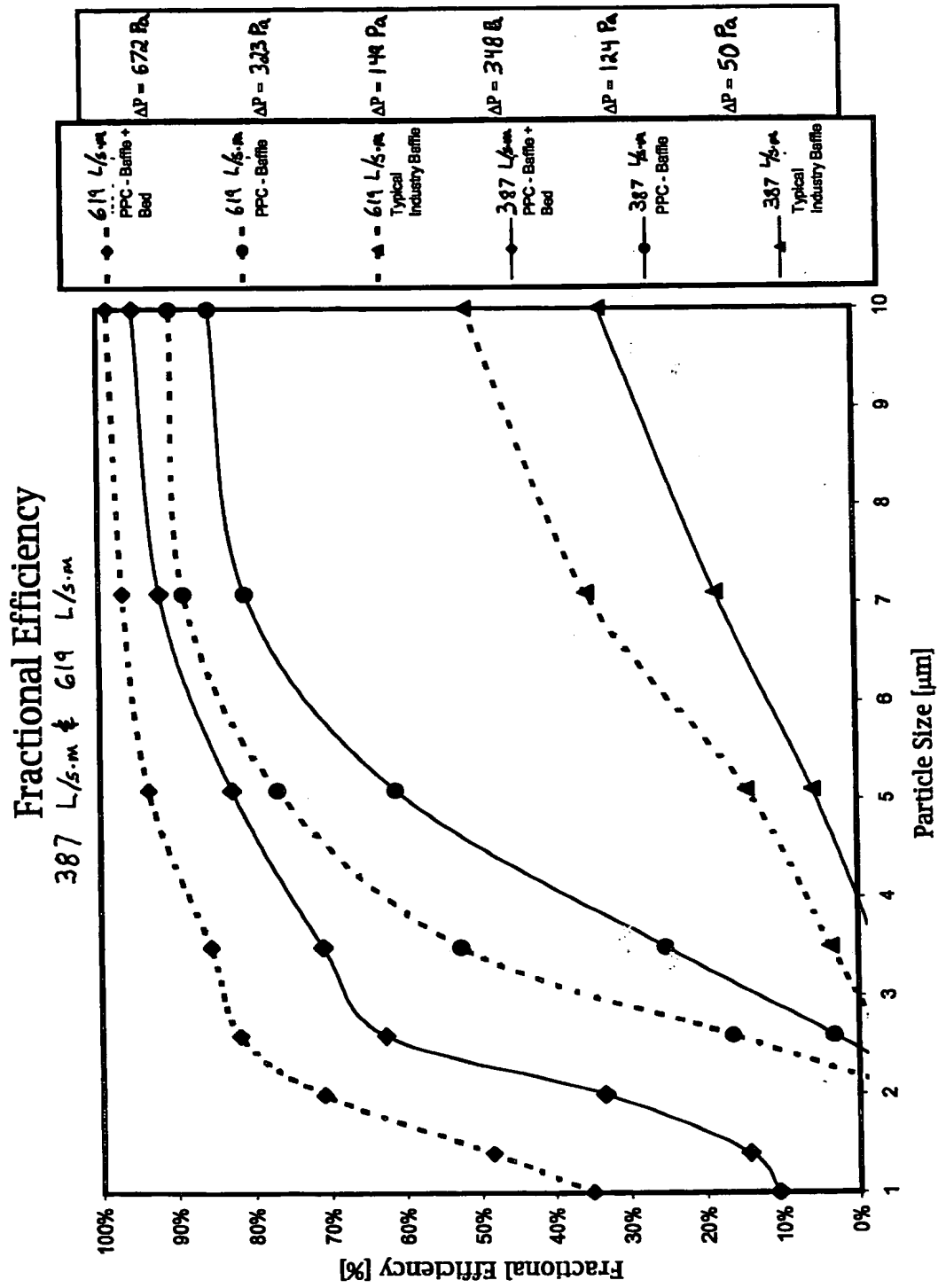


Fig. 38